

Національний інститут раку, Київ

ГЕТЕРОГЕННІСТЬ НЕЙРОБЛАСТОМ ЗА ВМІСТОМ У ЇХНІХ КЛІТИНАХ НУКЛЕЇНОВИХ КИСЛОТ (попереднє спостереження)



О.М. Грабовий, М.Б. Зарецький,
Г.І. Клімнюк

Адреса:
Грабовий Олександр Миколайович
03022, Київ, вул. Ломоносова, 33/43
Національний інститут раку
Тел.: (044) 258-11-24
E-mail: agrabovoy@yandex.ru

Нейробластома є однією з найбільш специфічних для дитячого віку солідних злюкісних пухлин з розвитком, що погано прогнозується. Проведені дослідження показали, що нейробластоми характеризуються значним різноманіттям клітинного складу. У ранжованому ряду клітин нейробластоми за ступенем кореляції між вмістом нуклеїнових кислот у їх ядрі та в цитоплазмі з високою достовірністю пухлини можуть бути поділені на 3 групи: I – з низьким (до 0,4), II – із середнім (0,4–0,7) і III – високим (0,7–1) ступенем. Відсутність кореляції між середніми значеннями вмісту нуклеїнових кислот в ядрі та цитоплазмі клітин нейробластоми і широка мінливість ступеня кореляції між цими показниками у ранжованих за вмістом нуклеїнових кислот рядах у ядрах пухлинних клітин свідчать про наявність у нейробластомах різних морфофункціональних типів клітин. Отже, не тільки окремі ознаки (поліплоїдія тощо), а й ступінь зв'язку між певними ознаками може також виступати у якості критеріїв при оцінці властивостей нейробластом.

Нейробластома є однією з найбільш специфічних для дитячого віку солідних злюкісних пухлин, яка зустрічається найчастіше, становить близько 8% й займає 6-те місце в структурі дитячої онкозахворюваності. Цей тип пухлин виявляють у середньому в кількості 8–10 випадків на 1 млн дитячого населення, найчастіше у дітей до 1 року та 2–4 років життя [4, 6, 7, 14]. Частота виявлення нейробластом при аутопсіях більш ніж у 400 разів перевищує кількість клінічно виявлених випадків, що вказує на спонтанну інволюцію більшості цих новоутворень [2, 3].

Нейробластома належить до групи ембріональних пухлин, проте має ряд специфічних біологічних властивостей, не притаманних іншим злюкісним пухлинам [10, 11]:

1. Здатність до спонтанної регресії. Однак досі не виявлено жодного маркера, який визначає злам у перебігу захворювання від прогресування до регресії.

2. Здатність до диференціювання. Ця властивість була виявлена при дослідженні культури клітини, що вирощувалася з агресивної пухлини, яка доволі рідко (1:1150), проте переконливо набувала ознак диференціювання.

3. Властивість до стрімкого агресивного розвитку та бурхливого метастазування. Майже у 50% дітей, хворих на нейробластому, при надходженні в клініку спостерігаються метастази в кістковий мозок та кістки, лімфатичні вузли.

Нейробластоми, як і інші злюкісні пухлини, виникають завдяки накопи-

чення мутацій у критичних прото-онкогенах і генах-супресорах пухлинного росту. Відповідно до центральної догми молекулярної біології [12] реалізація спадкової інформації відбувається в ланцюзі ДНК→РНК→білок, що втілюється у певні ознаки. Множинні ж зміни у геномі при онкогенезі призводять до порушення багаточисленних внутрішньоклітинних процесів, які накладаються один на один, що проявляється формуванням нового, «пухлинного» фенотипу з рядом характерних ознак. Слід також зазначити, що генетичні порушення, що призводять до виникнення пухлини, супроводжуються змінами молекулярних сигнальних каскадів, які є певною мірою специфічними для кожної конкретної пухлини та привносять унікальні додатки до загальних механізмів пухлинного росту [13] та до доповнення/збіднення фенотипу пухлини тими чи іншими ознаками. Розвиток новоутворення поступово призводить до набуття ним злюкісності та гетерогенності клітинного складу, виникає декілька субпопуляцій клітин, що відрізняються своїми біологічними властивостями, морфологією, імунофенотипом. Тому визначення у складі нейробластоми морфофункціональних груп клітин, які мають різні властивості, може дати підґрунтя для встановлення ступеня її злюкісності та прогнозування перебігу хвороби.

Мета роботи — оцінити гетерогенність клітинного складу нейробластом за пов’язаними морфофункціональними

ознаками клітин та визначити принципову можливість їх використання для виявлення злойкісності пухлини та прогнозу розвитку захворювання.

ОБ'ЄКТ ТА МЕТОДИ ДОСЛІДЖЕННЯ

Дослідження було проведено на матеріалі біопсій або вилученому при оперативному втручанні від 20 пацієнтів з нейробластомою. Гістологічне типування було проведено з використанням рутинного (гематоксилін і еозин) забарвлення та імуногістохімічного дослідження. Наявність метастазів, у тому числі й віддалених, спостерігалася у 8 пацієнтів, і за Міжнародною патологічною класифікацією нейробластом (INPC), 10 були віднесені до сприятливої 10 до несприятливої форми.

Отриманий матеріал фіксували в забуференому 10% формаліні з pH 7,4 та ущільнювали у парафін із застосуванням гістіопроцессора Histos-5 (Milestone, Italy). З отриманих блоків виготовляли гістологічні зразки товщиною 5 мкм за допомогою мікротома Microm HM325 (Thermo scientific, Germany). Зразки забарвлювали азур-II-еозином для загальної оцінки пухлини та галоціанін-хромовим галуном за Ейнарсоном (pH 1,62, 37°C протягом 24 год) для виявлення вмісту нуклеїнових кислот (НК) у клітинах [5, 8]. Отримані препарати вивчали та фотографували за допомогою мікроскопа Nikon Eclipse 80i з камерою DS-55MC та блоком контролю L2 за стандартизованих умов. Обробку цифрових зображень здійснювали за допомогою системи аналізу зображення Image J 1,4.

На препаратах, забарвлених за Ейнарсоном, у 30 клітинах кожної пухлини визначали: площину перетину ядра клітини (N area), питому оптичну щільність ядра клітини (N DM), інтегративну оптичну щільність ядра клітини (N IntDen), а також розра-

ховували вміст НК на реконструйований об'єм ядра клітини пухлини (N Кооф НК) для екстраполяції результатів вимірювання у площині зрізу за формулою:

$$N \text{ Кооф } HK = N \text{ IntDen} * \frac{3}{4} * N \text{ area} * \sqrt{\frac{N \text{ area}}{\pi}} \quad (1)$$

Для цитоплазми пухлини клітин визначали: площину перетину цитоплазми клітини (С area), питому оптичну щільність цитоплазми клітини (С DM), інтегративну оптичну щільність цитоплазми клітини (С IntDen), вміст НК на реконструйований об'єм (за формулою, аналогічно 1) цитоплазми клітини (С Кооф НК).

У якості вихідної точки відліку для оцінки вмісту НК використали показник, прийнятий за одиницю, притаманний ядрям лімфоцитів, що знаходилися у стромі пухлини. Для кожної окремої пухлини проведено попарний кореляційний аналіз між отриманими показниками.

Клітини кожної окремої пухлини були ранжировані за вмістом НК у ядрі. Отримана послідовність була поділена на інтервали із кроком, що дорівнював середньому вмісту НК у ядрах лімфоцитів. У межах кожного інтервалу визначали абсолютну кількість клітин, що відображують клітинний склад пухлини за вмістом у ядрах їх клітин НК. Для кожного інтервалу в спектрі складу клітин пухлини за вмістом НК у ядрах розрахували середнє значення вмісту НК у ядрі (MN HK) та цитоплазмі (MC HK) та визначали кореляцію між цими показниками. За ступенем цієї кореляції між зазначеними показниками пухлини були розподілені на групи, достовірність відмінності яких визначалася за критерієм Фішера. У кожній виділеній групі нейробластом обчислювали середній вміст НК у ядрі пухлини клітин.

Отримані результати зіставляли з клінічними даними (наявністю регіональних та віддалених метастазів) та оцінкою

пухлин за INPC як зі сприятливою так і несприятливою гістопатологічною будовою [15, 16]. Для цього враховували: ступінь диференціації, наявність або відсутність шваннівської строми (багаті стромою, бідні стромою), мітотично-каріорексичний індекс (МКІ, індекс Шимади — кількість мітоzів та каріорексисів на 5000 пухлини клітин), нодулярну будову, вік хворого.

ОТРИМАНИ РЕЗУЛЬТАТИ ТА ЇХ ОБГОВОРЕННЯ

На препаратах, забарвлених за Ейнарсоном, для кожної з 30 клітин кожної пухлини визначали планіметричні та денсіометричні показники, зроблено перерахунок даних вимірювання оптичної щільноти ядра та цитоплазми у площині зрізу на реконструйований об'єм ядра (за формулою 1). Середня оптична щільність ядер лімфоцитів була взята за одиницю вмісту НК в ядрах пухлини клітин. У межах кожної окремої пухлини проведено попарний кореляційний аналіз між отриманими показниками, що визначалися (табл. 1).

Проведений аналіз показав, що у клітинах нейробластом існує стійкий кореляційний зв'язок між розмірами ядра та вмістом у ньому НК (N area-N IntDen, а також N Кооф НК-N area), що було виявлено в усіх дослідженіх пухлинах. Також високий коефіцієнт притаманний для площини цитоплазми клітин пухлини та вмісту у ній НК (С area-C IntDen). Однак із загальної закономірності зв'язків випадає № 11, коли у пухлині визначалися додатково високі індекси кореляції між іншими параметрами показників. Крім того, в № 8 і № 11 виявилася висока кореляція між площею ядер та цитоплазми (N area-C area), а в № 13 і № 17 спостерігається висока кореляція між питомими щільнотами

Таблиця 1 Кореляція між параметрами морфометричних та денсіометричних показників стану ядер та цитоплазми клітин нейробластом (жирним шрифтом виділені високі значення кореляції між ознаками)

№ пухлини Кореляція	1	2	3	4	5	6	7	8	9	10	11	12	13	14	15	16	17	18	19	20
N area-N DM	-0,16	-0,45	-0,7	-0,25	-0,44	0,02	-0,04	-0,18	0,35	-0,37	-0,54	-0,15	-0,3	0,03	-0,31	-0,61	-0,36	-0,11	-0,35	0,16
N area-N IntDen	0,97	0,87	0,9	0,85	0,96	0,93	0,91	0,98	0,91	0,84	0,97	0,95	0,82	0,87	0,85	0,89	0,92	0,98	0,74	0,96
N area-C area	0,26	0,33	0,31	0,49	0,22	0,54	0,61	0,82	-0,02	0,21	0,82	0,47	0,35	0,26	0,28	0,56	-0,04	0,56	0,35	0,15
N area-C DM	-0,09	-0,14	-0,14	-0,37	0,26	0,19	-0,13	-0,2	0,21	-0,06	0,02	-0,01	-0,26	-0,1	-0,11	-0,3	-0,3	-0,22	-0,26	0,13
N area-C IntDen	0,3	0,17	0,36	0,44	0,28	0,52	0,5	0,81	0,04	0,29	0,77	0,39	-0,03	0,14	0,32	0,49	0,24	0,42	0,2	0,16
N DM-N IntDen	0,07	0,87	-0,32	0,29	-0,2	0,38	0,37	0	0,7	0,18	-0,41	0,11	0,29	0,51	0,21	-0,22	0,01	0,08	0,36	0,43
N DM-C area	-0,18	-0,27	-0,21	-0,23	-0,11	0,22	-0,36	-0,31	-0,23	0,16	-0,56	0,14	-0,13	-0,01	0,22	-0,17	0,33	-0,2	0,36	0
N DM-C DM	0,47	0,49	0,16	0,37	0,13	0,34	0,49	0,22	0,53	0,52	0,22	0,55	0,76	0,43	0,16	0,56	0,82	0,74	-0,26	0,55
N DM-C IntDen	-0,03	0,12	-0,22	-0,01	-0,07	0,28	-0,02	-0,28	-0,1	0,42	-0,53	0,27	0,5	0,14	0,28	-0,12	0,5	0,07	0,51	0,4
N IntDen-C area	0,24	0,23	0,26	0,33	0,24	0,56	0,4	0,73	-0,14	0,33	0,76	0,49	0,24	0,19	0,41	0,59	0,07	0,52	0,62	0,14
N IntDen-C DM	0	0,1	-0,07	-0,15	0,32	0,29	0,07	-0,18	0,4	0,19	0,04	0,12	0,21	0,1	-0,02	-0,11	-0,01	-0,08	0,17	0,27
N IntDen-C IntDen	0,31	0,25	0,33	0,41	0,32	0,57	0,44	0,73	-0,04	0,56	0,72	0,45	0,26	0,24	0,48	0,53	0,47	0,43	0,58	0,27
C Area-C DM	-0,48	-0,07	-0,74	-0,54	0,28	0,38	-0,21	-0,3	-0,44	-0,17	0,12	0,33	-0,13	-0,08	-0,5	-0,06	0,14	-0,36	0,36	-0,49
C Area-C IntDen	0,92	0,69	0,96	0,84	0,97	0,97	0,81	0,98	0,94	0,77	0,98	0,96	0,61	0,75	0,94	0,99	0,12	0,84	0,9	0,77
C DM-C IntDen	-0,15	0,64	-0,59	-0,14	0,46	0,57	0,36	-0,13	-0,14	0,42	0,22	0,5	0,67	0,55	-0,22	0,02	0,56	0,06	0,68	0,12
N Кооф HK-C area	0,1	0,27	0,29	0,38	0,22	0,54	0,46	0,78	-0,13	0,31	0,82	0,46	0,31	0,21	0,4	0,65	0,02	0,53	0,58	0,15
N Кооф HK-N area	0,51	0,94	0,96	0,92	0,97	0,95	0,95	0,98	0,94	0,92	0,98	0,96	0,91	0,93	0,92	0,95	0,97	0,97	0,83	0,97
N Кооф HK-C Кооф HK	0,98	0,25	0,35	0,4	0,22	0,54	0,47	0,74	-0,09	0,53	0,78	0,35	0,14	0,24	0,42	0,59	0,05	0,52	0,54	0,25
C Кооф HK-C area	0,1	0,8	0,98	0,92	0,97	0,99	0,92	0,97	0,97	0,87	0,98	0,96	0,77	0,85	0,98	0,99	1	0,92	0,91	0,93

N area — площа перетину ядра клітини; N DM — питома оптична щільність ядра клітини; N IntDen — інтегративна оптична щільність ядра клітини; N Кооф HK — вміст НК у перерахунку на реконструйований об'єм ядер клітини пухлини; С area — площа перетину цитоплазми клітини; С DM — питома оптична щільність цитоплазми клітини; С IntDen — інтегративна оптична щільність цитоплазми клітини; С Кооф HK — вміст НК у перерахунку на реконструйований об'єм цитоплазми клітини пухлини

(за вмістом НК) ядра та цитоплазми (N DM-C DM). Пряма залежність між вмістом НК у ядрі та цитоплазмі клітин пухлини відсутня.

Виходячи з загального положення, що рак є генетичною хворобою і, відповідно, зміни клітини перш за все торкаються геному та ядра, а пухлинна прогресія веде до поліпloidії [1, 9, 17], клітини кожної пухлини були ранжовані за вмістом НК у ядрі. Отримана послідовність була поділена на інтервали із кроком, що дорівнював одиниці (вміст НК у ядрі лімфоцита). У межах кожного інтервалу визначалася абсолютна кількість клітин. Побудовано гістограми, що відображають клітинну гетерогенітет пухлин за вмістом у ядрах їх клітин НК (рисунок). Для кожного інтервалу в спектрі складу клітин пухлини за вмістом НК у ядрах визначені середні значення вмісту НК у ядрі (MN НК) та цитоплазмі (MC НК) клітин та кореляція між цими показниками (табл. 2).

Таблиця 2 Середні значення вмісту НК у ядрі (MN НК) та цитоплазмі (MC НК) клітин нейробластом, що були досліджені, для ранжованого ряду з кроком у одиницю (вміст НК у ядрі лімфоцита) та кореляція між зазначеними показниками

№	Локалізація НК	Інтервал								Індекс кореляції
		0,00–0,99	1,0–1,99	2,0–2,99	3,0–3,99	4,0–4,99	5,0–5,99	6,0–6,99	7,0–7,99	
1	MN НК	-	1,5±0,3	2,3±0,2	3,6±0,2	4,4±0,1	5,4±0,0	6,5±0,2	7,0±0,0	0,31
	MC НК	-	2,0±0,6	2,2±0,9	1,6±0,4	3,1±0,7	2,4±0,0	2,4±0,8	2,2±0,0	
2	MN НК	-	1,6±0,1	2,4±0,1	3,6±0,0	4,9±0,0	-	-	-	0,76
	MC НК	-	1,1±0,3	1,1±0,6	1,6±0,0	1,2±0,0	-	-	-	
3	MN НК	-	1,8±0,1	2,5±0,1	3,4±0,1	4,1±0,0	-	-	-	0,69
	MC НК	-	3,0±0,6	2,8±0,5	5,7±1,4	4,3±0,0	-	-	-	
4	MN НК	0,9±0,0	1,5±0,1	2,3±0,1	3,1±0,1	-	-	-	-	0,92
	MC НК	0,7±0,0	1,3±0,2	2,6±0,8	2,4±0,9	-	-	-	-	
5	MN НК	-	1,6±0,0	2,4±0,1	3,3±0,1	4,4±0,1	5,4±0,1	6,3±0,1	7,2±0,1	0,64
	MC НК	-	2,8±0,0	12,9±3,7	19,7±5,7	17±10,7	28±10,1	9,5±3,6	27,9±5,1	
6	MN НК	-	-	2,4±0,0	-	4,5±0,1	5,4±0,1	6,5±0,1	7,1±0,1	0,4
	MC НК	-	-	15,1±0,0	-	12,8±1,8	40±25	25,5±2,6	29,8±6,8	
7	MN НК	-	-	2,5±0,1	3,6±0,1	4,6±0,1	5,4±0,2	6,3±0,3	7,4±0,3	0,38
	MC НК	-	-	1,5±0,1	2,9±0,6	3,9±0,5	4,3±1,5	6±0,6	2,7±0,5	
8	MN НК	0,5±0,0	1,6±0,1	-	3,4±0,0	4,8±0,1	5,5±0,0	-	-	0,59
	MC НК	0,6±0,0	1,4±0,2	-	1,6±0,0	4,3±0,9	2,4±0,0	-	-	
9	MN НК	-	1±0,1	2,5±0,1	3,3±0,0	4,7±0,1	5,2±0,0	6,2±0,0	-	-0,38
	MC НК	-	2,2±0,5	3,9±0,5	3,8±0,9	2,3±0,1	3,1±0,0	1,9±0,0	-	
10	MN НК	-	1,9±0,0	2,2±0,1	3,6±0,1	4,3±0,1	5,5±0,2	6,1±0,1	-	-0,38
	MC НК	-	1,2±0,0	0,9±0,1	1,2±0,2	0,8±0,3	1,2±0,2	1,9±0,5	-	
11	MN НК	0,3±0,1	1,4±0,1	2,0±0,0	3,8±0,0	4,2±0,0	-	6,8±0,1	7,7±0,0	0,38
	MC НК	2,4±1,4	12±1	4,5±3,4	26,6±0,0	7,5±0,0	-	24,1±5	17,1±0,0	
12	MN НК	0,6±0,1	1,4±0,1	2,5±0,1	3,2±0,0	-	5,7±0,0	6,4±0,1	-	0,84
	MC НК	0,7±0,2	22±12	18±14	25,2±0,0	-	38±4,7	23±8,8	-	
13	MN НК	0,8±0,1	1,7±0,1	2,3±0,1	3,2±0,2	-	-	-	-	0,72
	MC НК	0,6±0,1	1,2±0,1	1,1±0,1	1,1±0,2	-	-	-	-	
14	MN НК	0,7±0,0	1,6±0,1	2,5±0,1	3,4±0,1	4,4±0,1	5,7±0,2	6,0±0,0	-	0,61
	MC НК	0,4±0,0	0,6±0,1	0,8±0,2	1,1±0,2	0,4±0,6	0,9±0,4	1,5±0,0	-	
15	MN НК	-	1,8±0,1	2,5±0,1	3,7±0,2	4,6±0,1	5,5±0,1	6,2±0,0	7,0±0,0	0,54
	MC НК	-	4,2±2,5	2,1±1,4	2,8±1,9	4,0±0,5	4,4±1,4	8,7±0,8	4,4±0,0	
16	MN НК	-	1,6±0,1	2,5±0,1	3,4±0,1	4,8±0,1	5,3±0,0	-	-	-0,51
	MC НК	-	14±0,1	2,9±0,1	1,4±0,1	1,8±0,1	6,2±0,0	-	-	
17	MN НК	0,8±0,1	1,5±0,1	2,4±0,1	3,5±0,1	-	-	6,3±0,0	-	-0,06
	MC НК	1,0±0,1	1,8±0,1	11,5±0,1	2,3±0,1	-	-	1,7±0,0	-	
18	MN НК	0,6±0,1	1,4±0,1	2,3±0,1	3,2±0,1	4,2±0,0	-	-	8,3±0,0	0,82
	MC НК	1,1±0,1	1,3±0,1	2,9±0,1	1,3±0,1	2,3±0,0	-	-	3,9±0,0	
19	MN НК	0,9±0,0	1,5±0,1	2,5±0,1	3,4±0,1	4,5±0,4	5,3±0,0	6,4±0,3	7,1±0,0	0,63
	MC НК	0,6±0,0	1±0,4	1±0,2	1,1±0,2	1,8±0,5	0,4±0,0	2±0,9	9,6±0,0	
20	MN НК	-	1,4±0,0	2,4±0,1	3,6±0,1	4,7±0,1	5,4±0,2	6,6±0,1	-	0,08
	MC НК	-	1,8±0,0	2,5±0,2	2,7±0,5	2,8±0,5	4,5±0,9	1,5±0,3	-	

Таблиця 3 Деякі характеристики груп нейробластом, визначені за рівнем кореляції вмісту НК у ядрі та цитоплазмі пухлинних клітин, ранжованих за вмістом НК у ядрі

Група	Кількість досліджених пухлин	Середній вміст НК у ядрі пухлинних клітин (умовні одиниці)	Кількість досліджених пухлин у групі з наявністю метастазів / %	Гістологічна група за INPC	
				сприятлива	несприятлива
I	7	5,8±0,21	2 / 28	5	2
II	7	7,44±0,33	2 / 28	4	3
III	6	4,64±0,35	4 / 66	1	5

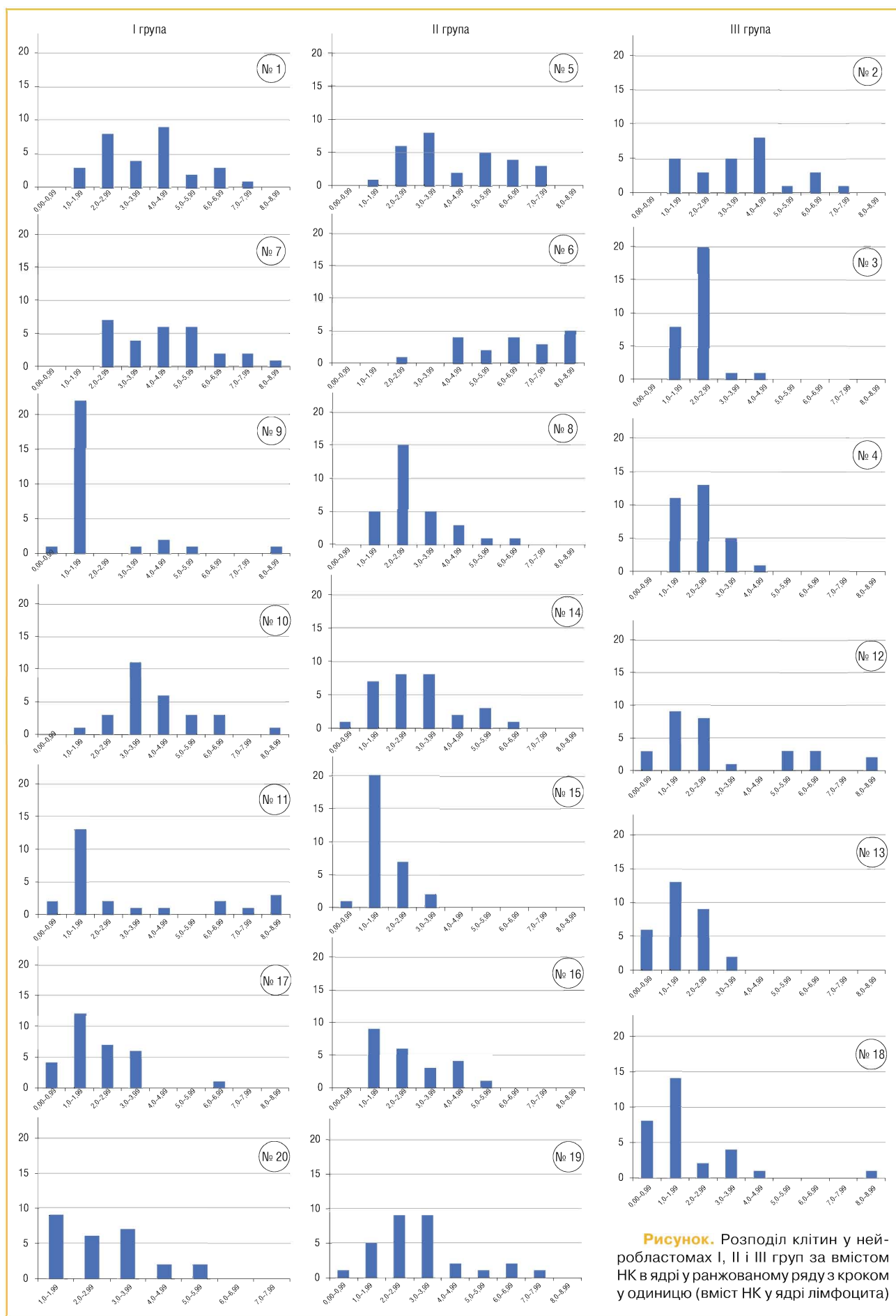


Рисунок. Розподіл клітин у нейробластомах I, II і III груп за вмістом НК в ядрі у ранжованому ряду з кроком у одиницю (вміст НК у ядрі лімфоцита)

томи за ступенем кореляції між вмістом НК у їх ядрі та в цитоплазмі з високою достовірністю пухлини можуть бути поділені на 3 групи: I — з низьким (до 0,4), II — із середнім (0,4—0,7) та III — високим (0,7—1) значенням цього показника. Відсутність кореляції між середніми значеннями вмісту НК в ядрі та цитоплазмі клітин нейробластоми (див. табл. 1) і широка мінливість ступеня кореляції між цими показниками у ранжованих за вмістом НК рядах у ядрах пухлинних клітин (див. табл. 2) свідчать про наявність у нейробластомах різних морфофункциональних типів клітин. Отже, не тільки окремі ознаки (поліпloidія тощо), а й ступінь зв'язку між певними ознаками може також виступати у якості критерій при оцінці властивостей нейробластом. Звертає на себе увагу те, що в III групі досліджених нейробластом найчастіше зустрічаються випадки з наявністю метастазів, несприятливою гістологічною будовою пухлин та високим MKI (див. табл. 3). Це дає підставу припускати, що найбільш агресивними та з несприятливим прогнозом перебігу є пухлини III групи.

Привертає також увагу той факт, що у III групі нейробластом, яка включає найбільшу відносну кількість пухлин з метастазами та несприятливим гістологічним типом, клітини містять у середньому меншу

кількість НК в ядрі в порівнянні як з II, так і I групами (див. табл. 3.). Враховуючи доведений факт, що кількість ДНК у ядрах клітин новоутворень зростає у міру пухлинної прогресії [1, 9, 17], привертає присліпливу увагу вміст РНК у клітинах нейробластоми. Слід зважати на те, що поділ клітин та виконання ними специфічних функцій умовно можна розглядати як антигоністичні стани. При цьому поділ клітин зазвичай супроводжується відповідно редукцією метаболічного апарату, в тому числі й блоксінтезувального (гранулярної ендоплазматичної сітки) та практичним припиненням синтезу РНК у ядрі. Виходячи з цього, вміст РНК в клітинах пухлин можна розглядати у якості критерію його метаболічної активності та рівня їхнього диференціювання. Можна припустити, що збільшення вмісту ДНК у ядрі з одночасним зменшенням кількості РНК як у ядрі, так і в цитоплазмі може виступати показником високої агресивності пухлин: зниження рівня диференціювання її клітин, зростання проліферативної активності та, можливо, інвазивного потенціалу нейробластоми.

ЛІТЕРАТУРА

- Автандилов Г.Г. (2002) Основы количественной и патологической анатомии. М.: Медицина: 240.
- Детская гематология и онкология. (2005) Ланцовский Филип (пер. с англ. С.Шершаков). М.: Лори: 764.
- Афанасьев Б.В., Балдуева И.А., Белогурова М.Б. и др. (2002) Детская онкология. Руководство для врачей. Под ред. М.Б. Белогуровой. СПб.: Спец. Лит.: 351.
- Ивановская Т.Е., Гусман Б.С. (1988) Патологическая анатомия болезней плода и ребенка. М.: Медицина: 298.
- Лупа Х. (1980) Основы гистохимии. (Пер. с немец.). М.: Мир: 344.
- Оберзер А., Тайсен Д., Вестерман Ф. (2009) Характеристика и классификация нейробластом. Будущие онкологи, 5(5): 265–239.
- Шалимов С.А., Гриневич Ю.А., Возианов А.Ф. и др. (2008) Справочник по онкологии. Под ред.: С.А. Шалимова, Ю.А. Гриневича, Д.В. Мясоедова. К.: Здоров'я: 576.
- Ташке К. (1980) Введение в количественную цитогистологическую морфологию. (Пер. с рум.). М.: Из. Акад. Соц. Респ. Румынии: 192.
- Bown N. (2001) Neuroblastoma tumour genetics: clinical and biological aspects. J Clin Pathol.: 54 (12): 897–910.
- Brodeur G.M., Maris J.M. (2002) Neuroblastoma. Principles and Practice of Pediatric Oncology. Philadelphia: Lippincott Williams & Wilkins: 937.
- Brodeur G.M. (2003) Neuroblastoma. Nature Rev Cancer.: 3: 203–216.
- Crick F. (1970) Central dogma of molecular biology. Nature: 227: 561–563.
- Petricoin E.F., Bichsel V.E., Calvert V.S. et al. (2005) Mapping molecular networks using proteomics: a vision for patient-tailored combination therapy. Biochim. Biophys. Acta.: 23: 3614–3621.
- Ross J.A., Severson R.K., Pollock B.H. et al. (1996) Childhood cancer in United States. A geographical analysis of cases from the Pediatric Cooperative Clinical Trials group. Cancer: 77: 201–207.
- Shimada H., Ambros I.M., Dehner L.P. et al. (1999) Terminology and morphologic of neuroblast tumor: recommendations by the International Neuroblastoma Pathology Committee. Cancer: 86: 349–363.
- Shimada H., Ambros I.M., Dehner L.P. et al. (1999) The International Neuroblastoma Pathology Classification. Cancer: 86: 364–372.
- Varriend S., Burchill S.A. (2003) Neuroblastoma. Mol. biol. pathol. paediatr. cancer: 161–3.

Гетерогенность нейробластом по содержанию в их клетках нуклеиновых кислот (предварительные наблюдения)

А.Н. Грабовой, М.Б. Зарецкий, Г.И. Климнюк

Національний інститут рака, Київ

Резюме. Нейробластома является одной из наиболее специфических злокачественных солидных опухолей детского возраста с плохо прогнозируемым развитием. Проведенные исследования показали, что нейробластомы характеризуются значительным разнообразием клеточного состава. В ранжированном ряде клеток нейробластомы по степени корреляции между содержанием нуклеиновых кислот в их ядре и цитоплазме опухоли с высокой достоверностью могут быть разделены на 3 группы: I — с низкой (до 0,4), II — со средней (0,4—0,7) и III — высокой (0,7—1) степенью. Отсутствие корреляции между средними значениями содержания нуклеиновых кислот в ядре и цитоплазме клеток нейробластомы и широкая вариабельность степени корреляции между этими показателями в ранжированных по содержанию нуклеиновых кислот рядах в ядрах опухолевых клеток свидетельствует о наличии в нейробластомах различных морфофункциональных типов клеток. Таким образом, не только отдельные признаки (полиплоидия и др.), а и степень связи между признаками также может выступать в качестве критерия оценки свойств нейробластом.

Ключевые слова: нейробластома, клеточная гетерогенность, нуклеиновые кислоты.

Heterogeneity of neuroblastoma on the nucleic acid content in its cells (preliminary observations)

O.N. Grabovyi, M.B. Zaretskyi, G.I. Klyminjuk

National Cancer Institute, Kyiv

Summary. Neuroblastoma is one of the most specific of malignant solid tumors of childhood, with poorly predictable development. Conducted studies have shown that neuroblastoma is characterized by considerable diversity of the cellular composition. According to the correlation degree in the number of neuroblastoma cells ranged in content of nucleic acids in their nucleus and cytoplasm, with a high degree of reliability tumors can be divided into 3 groups: I — with a low (0,4), II — with medium (0,4—0,7) and III — with high (0,7—1) degree. The lack of correlation, between the average meaning, of nucleic acids content in the nucleus and cytoplasm of neuroblastoma cells and a wide variability in the correlation degree between these parameters in ranged on the content of nucleic acid ranks in the cancer cells' nuclei indicates about the presence of various morphofunctional types of neuroblastoma cells. Thusly, not only individual characteristics (polyploidy, etc.), but also the degree of association between individual symptoms may also serve as criteria for evaluating the properties of neuroblastoma.

Key words: neuroblastoma, cell heterogeneity, the nucleic acid.